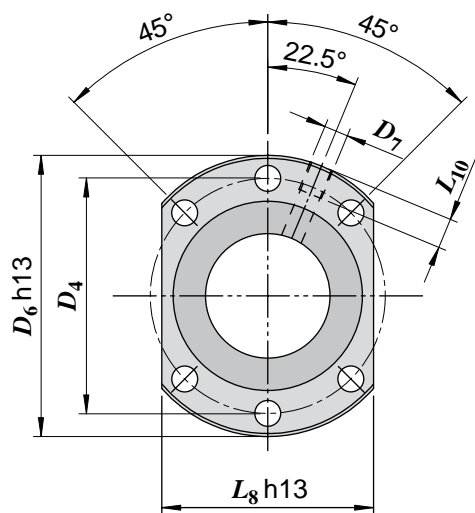
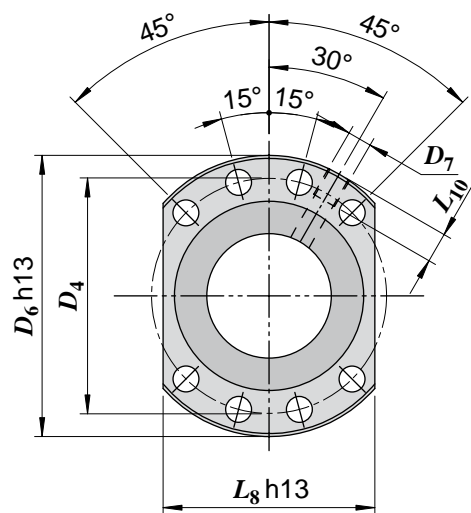


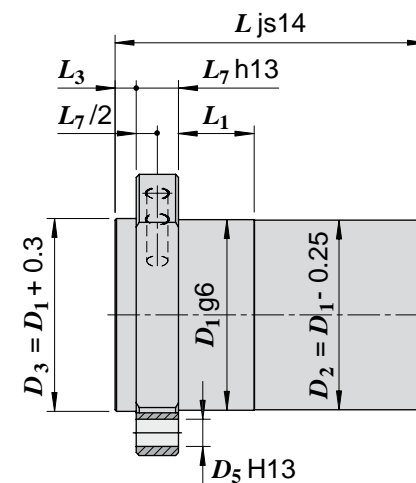
Codice madrevite	Diametro nominale filettatura	Passo elica filettatura	Diametro sfera D_w [mm]	N° principi filettatura	N° circuiti sfere	Carico dinamico C_a [kN]	Carico statico C_{0a} [kN]	Gioco assiale max. [mm]	Flangia tipo	Dimensioni [mm]										
	d_0 [mm]	P_h [mm]								D_1	D_4	D_5	D_6	D_7	L_1	L_3	L_7	L_8	L_{10}	L
SFN-D.16.05.3R	16	5	3.175	1	3	9.0	13.5	0.05	1	28	38	5.5	48	M6	10	5	10	40	8	48
SFN-D.20.05.3R	20	5	3.175	1	3	10.4	18.4	0.05	1	36	47	6.6	58	M6	10	5	10	44	8	48
SFN-D.20.05.5R	20	5	3.175	1	5	15.7	28.5	0.05	1	36	47	6.6	58	M6	10	5	10	44	8	63
SFN-D.20.20.2R	20	20	3.175	1	2	7.0	11.6	0.05	1	36	47	6.6	58	M6	10	5	10	44	8	70
SFN-D.25.05.3R	25	5	3.175	1	3	12.0	24.4	0.05	1	40	51	6.6	62	M6	10	6	10	48	8	48
SFN-D.25.06.5R	25	6	3.969	1	5	23.4	44.3	0.06	1	40	51	6.6	62	M6	10	6	10	48	8	67
SFN-D.25.10.3R	25	10	3.969	1	3	15.6	28.6	0.06	1	40	51	6.6	62	M6	10	6	10	48	8	69
SFN-D.32.05.4R	32	5	3.175	1	4	17.6	43.9	0.05	1	50	65	9	80	M6	16	6	12	62	8	57
SFN-D.32.10.3R	32	10	6.350	1	3	28.3	49.6	0.10	1	50	65	9	80	M6	16	6	12	62	8	79
SFN-D.32.10.4R	32	10	6.350	1	4	36.3	63.5	0.10	1	50	65	9	80	M6	16	6	12	62	8	89
SFN-D.32.10.5R	32	10	6.350	1	5	44.0	77	0.10	1	50	65	9	80	M6	16	6	12	62	8	100
SFN-D.32.20.3R	32	20	6.350	1	3	27.9	45.6	0.10	1	50	65	9	80	M6	16	6	12	62	8	112
SFN-D.32.32.2R	32	32	6.350	1	2	21.2	34.9	0.10	1	56	71	9	86	M6	20	6	14	65	8	91



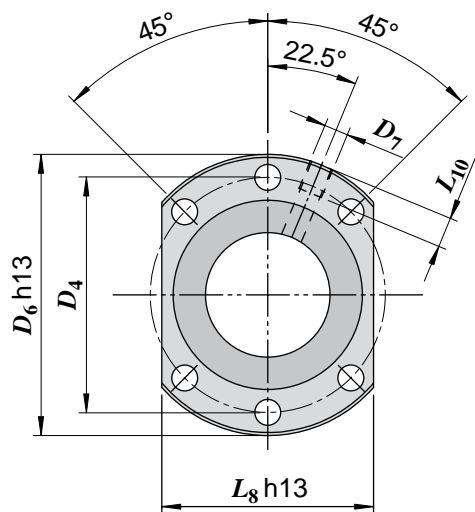
Flangia tipo 1
($d_0 < 40$ mm)



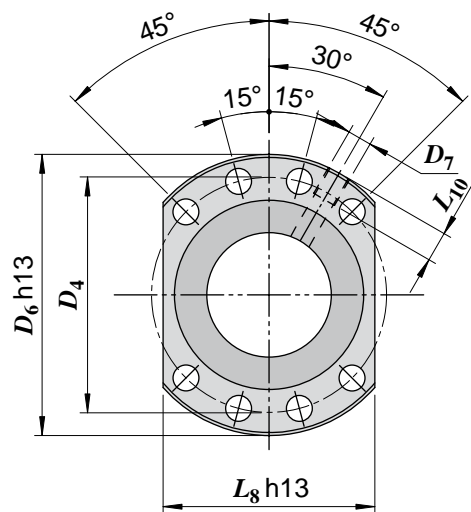
Flangia tipo 2
($d_0 > 40$ mm)



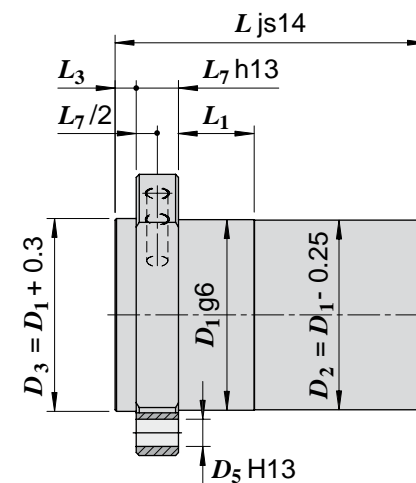
Codice madrevite	Diametro nominale filettatura	Passo elica filettatura	Diametro sfera	N° principi filettatura	N° circuiti sfere	Carico dinamico	Carico statico	Gioco assiale max.	Flangia tipo	Dimensioni [mm]										
	d_0 [mm]	P_h [mm]	D_w [mm]			C_a [kN]	C_{0a} [kN]	[mm]		D_1	D_4	D_5	D_6	D_7	L_1	L_3	L_7	L_8	L_{10}	L
SFN-D.40.10.5R	40	10	6.350	1	5	52	107	0.10	2	63	78	9	93	M8x1	16	7	14	70	10	103
SFN-D.40.20.3R	40	20	6.350	1	3	33.4	64	0.10	2	63	78	9	93	M8x1	16	7	14	70	10	115
SFN-D.40.40.2R	40	40	6.350	1	2	24.3	46.2	0.10	2	63	78	9	93	M8x1	25	7	14	70	10	107
SFN-D.50.10.5R	50	10	7.144	1	5	72	163	0.11	2	75	93	11	110	M8x1	16	7	16	85	10	106
SFN-D.50.20.4R	50	20	7.144	1	4	56	121	0.11	2	75	93	11	110	M8x1	16	7	16	85	10	142
SFN-D.63.10.5R	63	10	7.144	1	5	80	209	0.11	2	90	108	11	125	M8x1	16	7	18	95	10	108
SFN-D.63.20.4R	63	20	9.525	1	4	88	191	0.14	2	95	115	13.5	135	M8x1	25	9	20	100	10	155
SFN-D.80.10.6R	80	10	7.144	1	6	112	370	0.11	2	105	125	13.5	145	M8x1	16	9	20	110	10	121
SFN-D.80.16.5R	80	16	9.525	1	5	129	341	0.14	2	125	145	13.5	165	M8x1	25	9	25	130	10	157
SFN-D.80.20.5R-F	80	20	9.525	1	5	145	419	0.14	2	125	145	13.5	165	M8x1	25	9	25	130	10	142
SFN-D.80.20.4R	80	20	12.700	1	4	185	462	0.14	2	125	145	13.5	165	M8x1	25	9	25	130	10	161
SFN-D.100.16.5R	100	16	9.525	1	5	147	454	0.14	2	150	176	17.5	202	M8x1	25	9	30	155	10	165



Flangia tipo 1
($d_0 < 40$ mm)

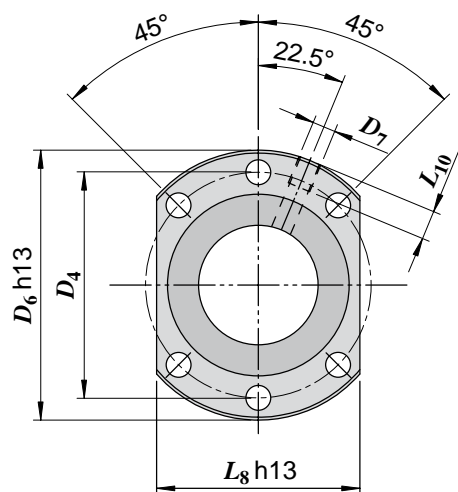


Flangia tipo 2
($d_0 > 40$ mm)

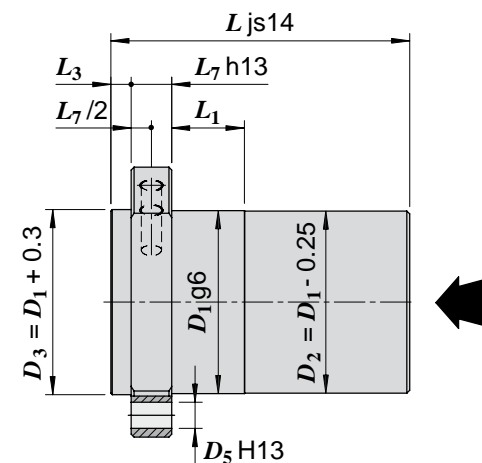
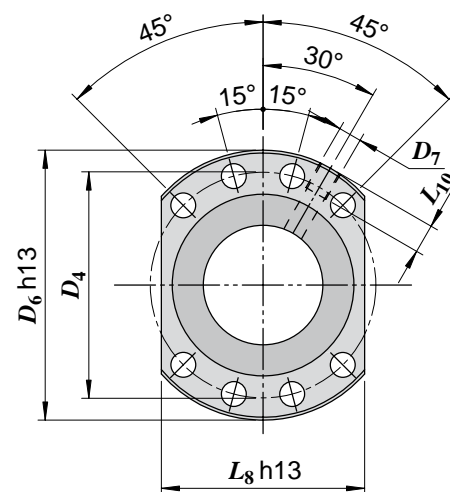


Codice madrevite	Diametro nominale filettatura	Passo elica filettatura	Diametro sfera	N° principi filettatura	N° circuiti sfere	Carico dinamico	Carico statico	Gioco assiale max.	Flangia tipo	Dimensioni [mm]										
	d_0 [mm]	P_h [mm]	D_w [mm]			C_a [kN]	C_{0a} [kN]	[mm]		D_1	D_4	D_5	D_6	D_7	L_1	L_3	L_7	L_8	L_{10}	L
SFN-D.16.05.3R	16	5	3.175	1	3	8.1	12.2	0.08	1	28	38	5.5	48	M6	10	5	10	40	8	48
SFN-D.20.05.3R	20	5	3.175	1	3	9.1	16.5	0.08	1	36	47	6.6	58	M6	10	5	10	44	8	48
SFN-D.20.05.5R	20	5	3.175	1	5	14.1	25.6	0.08	1	36	47	6.6	58	M6	10	5	10	44	8	63
SFN-D.25.05.3R	25	5	3.175	1	3	10.8	22.0	0.08	1	40	51	6.6	62	M6	10	6	10	48	8	48
SFN-D.25.06.5R	25	6	3.969	1	5	21.1	39.9	0.10	1	40	51	6.6	62	M6	10	6	10	48	8	67
SFN-D.25.10.3R	25	10	3.969	1	3	14.0	25.7	0.10	1	40	51	6.6	62	M6	10	6	10	48	8	69
SFN-D.32.05.4R	32	5	3.175	1	4	15.8	39.5	0.08	1	50	65	9	80	M6	16	6	12	62	8	57
SFN-D.32.10.3R	32	10	6.350	1	3	25.5	44.6	0.16	1	50	65	9	80	M6	16	6	12	62	8	79
SFN-D.32.10.4R	32	10	6.350	1	4	32.7	57	0.16	1	50	65	9	80	M6	16	6	12	62	8	89
SFN-D.32.10.5R	32	10	6.350	1	5	39.7	69	0.16	1	50	65	9	80	M6	16	6	12	62	8	100
SFN-D.32.20.3R	32	20	6.350	1	3	25.1	41.0	0.16	1	50	65	9	80	M6	16	6	12	62	8	112
SFN-D.40.10.5R	40	10	6.350	1	5	47.1	96	0.16	2	63	78	9	93	M8x1	16	7	14	70	10	103
SFN-D.40.20.3R	40	20	6.350	1	3	30.0	56	0.16	2	63	78	9	93	M8x1	16	7	14	70	10	115

Flangia tipo 1
($d_0 < 40$ mm)

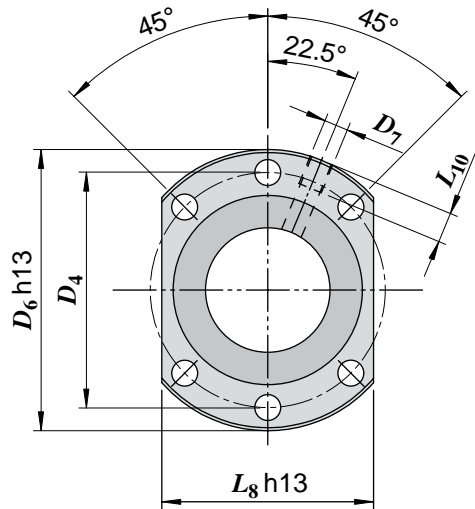


Flangia tipo 2
($d_0 > 40$ mm)

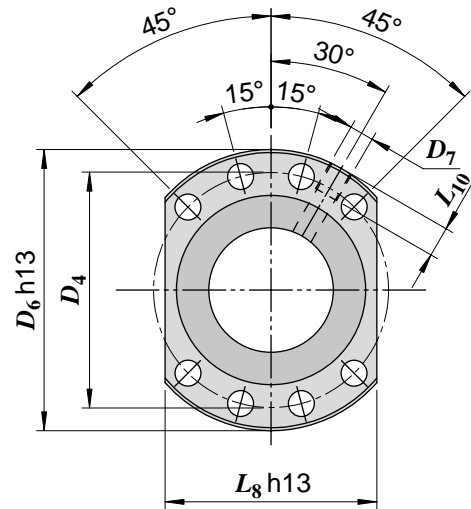


Codice madrevite	Diametro nominale filettatura	Passo elica filettatura	Diametro sfera	N° principi filettatura	N° circuiti sfere	Carico dinamico	Carico statico	Rigidità (*)	Flangia tipo	Dimensioni [mm]										
	d_0 [mm]	P_h [mm]	D_w [mm]			C_a [kN]	C_{0a} [kN]	$R_{b/t}$ [N/μm]		D_1	D_4	D_5	D_6	D_7	L_1	L_3	L_7	L_8	L_{10}	L
SFNP-D.20.05.3R	20	5	3.175	1	3 + 3	10.5	18.5	670	1	36	47	6.6	58	M6	10	5	10	44	8	69
SFNP-D.25.05.3R	25	5	3.175	1	3 + 3	12.0	24.4	830	1	40	51	6.6	62	M6	10	6	10	48	8	69
SFNP-D.25.06.3R	25	6	3.969	1	3 + 3	15.8	28.9	830	1	40	51	6.6	62	M6	10	6	10	48	8	78
SFNP-D.25.10.2R	25	10	3.969	1	2 + 2	11.1	19.2	560	1	40	51	6.6	62	M6	10	6	10	48	8	84
SFNP-D.32.05.4R	32	5	3.175	1	4 + 4	17.6	43.8	1 380	1	50	65	9	80	M6	10	6	12	62	8	82
SFNP-D.32.10.3R	32	10	6.350	1	3 + 3	29.8	50	930	1	50	65	9	80	M6	16	6	12	62	8	119
SFNP-D.40.10.3R	40	10	6.350	1	3 + 3	35.2	69	1 210	2	63	78	9	93	M8x1	16	7	14	70	10	122
SFNP-D.40.10.4R	40	10	6.350	1	4 + 4	45.0	92	1 570	2	63	78	9	93	M8x1	16	7	14	70	10	142
SFNP-D.40.20.2R	40	20	6.350	1	2 + 2	25.7	48.9	850	2	63	78	9	93	M8x1	25	7	14	70	10	145
SFNP-D.50.10.4R	50	10	7.144	1	4 + 4	62	141	2 080	2	75	93	11	110	M8x1	16	7	16	85	10	146
SFNP-D.50.20.2R	50	20	7.144	1	2 + 2	32.5	67	1 010	2	75	93	11	110	M8x1	16	7	16	85	10	152
SFNP-D.63.10.4R	63	10	7.144	1	4 + 4	69	182	1 540	2	90	108	11	125	M8x1	16	7	18	95	10	148
SFNP-D.63.20.2R	63	20	9.525	1	2 + 2	51	104	1 191	2	95	115	13.5	135	M8x1	25	9	20	100	10	165

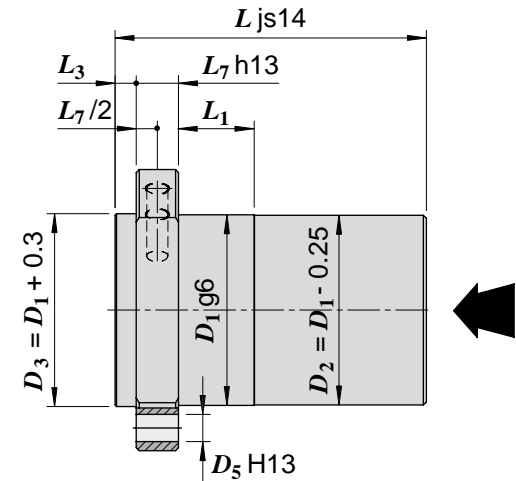
* - Il valore della rigidità sul punto di contatto pista - sfera determinato considerando un valore di precarico $F_{pr} = 0.08 \times C_a$



Flangia tipo 1
($d_0 < 40$ mm)

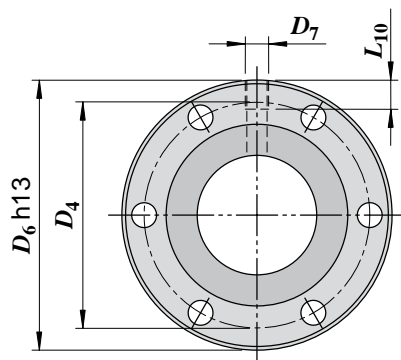


Flangia tipo 2
($d_0 > 40$ mm)



Codice madrevite	Diametro nominale filettatura d_0 [mm]	Passo elica filettatura P_h [mm]	Diametro sfera D_w [mm]	N° principi filettatura	N° circuiti sfere	Carico dinamico C_a [kN]	Carico statico C_{0a} [kN]	Gioco assiale max. [mm]	Flangia tipo	Dimensioni [mm]									
										D_1	D_4	D_5	D_6	D_7	L_1	L_3	L_7	L_{10}	L
SFN-S.20.05.3R	20	5	3.175	1	3	10.4	18.4	0.05	1	36	47	6.6	58	M6	10	5	10	8	48
SFN-S.20.05.5R	20	5	3.175	1	5	15.7	28.5	0.05	1	36	47	6.6	58	M6	10	5	10	8	63
SFN-S.20.20.2R	20	20	3.175	1	2	7.0	11.6	0.05	1	36	47	6.6	58	M6	10	5	10	8	70
SFN-S.25.06.5R	25	6	3.969	1	5	23.4	44.3	0.06	1	40	51	6.6	62	M6	10	6	10	8	67
SFN-S.25.10.3R	25	10	3.969	1	3	15.6	28.6	0.06	1	40	51	6.6	62	M6	10	6	10	8	69
SFN-S.32.10.5R	32	10	6.350	1	5	44.0	77	0.10	1	50	65	9	80	M6	16	6	12	8	100
SFN-S.32.20.3R	32	20	6.350	1	3	27.9	45.6	0.10	1	50	65	9	80	M6	16	6	12	8	112
SFN-S.32.32.2R	32	32	6.350	1	2	21.2	34.9	0.10	1	56	71	9	86	M6	20	6	14	8	91
SFN-S.40.10.5R	40	10	6.350	1	5	52	107	0.10	2	63	78	9	93	M8x1	16	7	14	10	103
SFN-S.40.20.3R	40	20	6.350	1	3	33.4	64	0.10	2	63	78	9	93	M8x1	25	7	14	10	115
SFN-S.40.40.2R	40	40	6.350	1	2	24.3	46.2	0.10	2	63	78	9	93	M8x1	25	7	14	10	107
SFN-S.50.10.5R	50	10	7.144	1	5	72	163	0.11	2	75	93	11	110	M8x1	16	7	16	10	106
SFN-S.50.20.4R	50	20	7.144	1	4	56	121	0.11	2	75	93	11	110	M8x1	16	7	16	10	142
SFN-S.63.10.5R	63	10	7.144	1	5	80	209	0.11	2	90	108	11	125	M8x1	16	7	18	10	108
SFN-S.63.20.4R	63	20	9.525	1	4	88	191	0.14	2	95	115	13.5	135	M8x1	25	9	20	10	155
SFN-S.80.16.5R	80	16	9.525	1	5	129	341	0.14	2	125	145	13.5	165	M8x1	25	9	25	10	157
SFN-S.100.16.5R	100	16	9.525	1	5	147	454	0.14	2	150	176	17.5	202	M8x1	25	9	30	10	165

Flangia tipo 1
6 fori a 60°
($d_0 < 40$ mm)



Flangia tipo 2
8 fori a 45°
($d_0 > 40$ mm)

